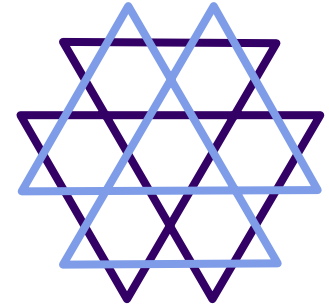


Etude par RMN et μ SR des composés antiferromagnétiques fortement frustrés à géométrie de bicouches kagomé

David Bono, Philippe Mendels
Gaston Collin, Nicole Blanchard

Laboratoire de Physique des Solides

Laboratoire Léon Brillouin



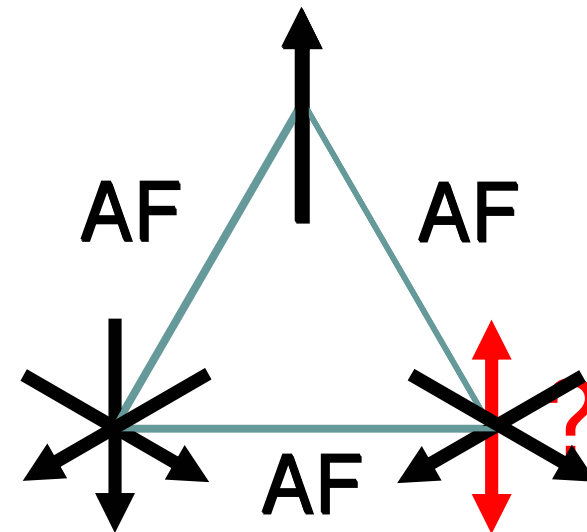
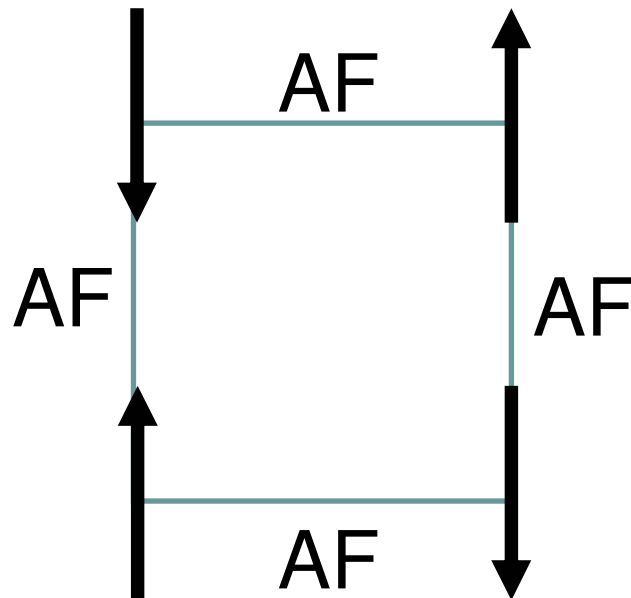
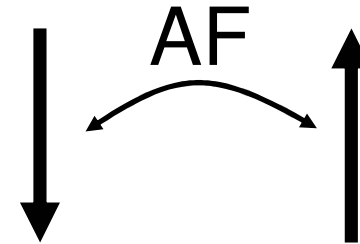
Systemes antiferromagnetiques



- Couplage AF entre deux spins
Hamiltonien $H = J \sum_{\langle i,j \rangle} \mathbf{S}_i \cdot \mathbf{S}_j$; ($J > 0$) .

Spins Heisenberg

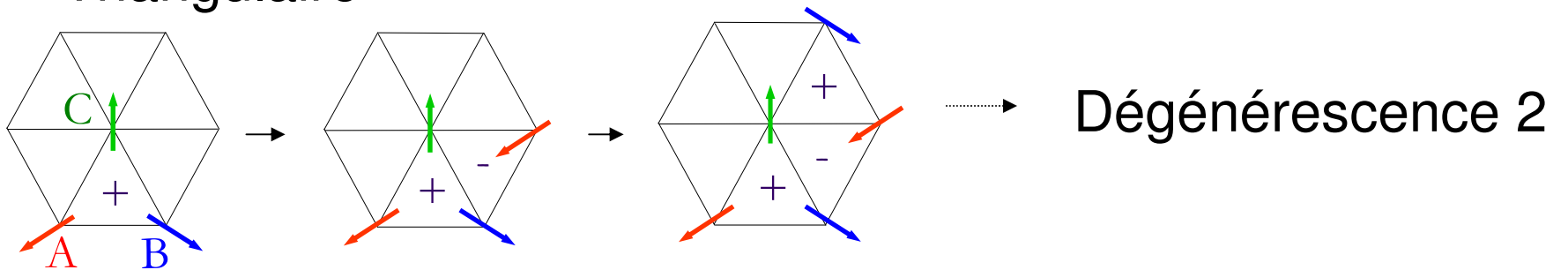
Ordre de Néel



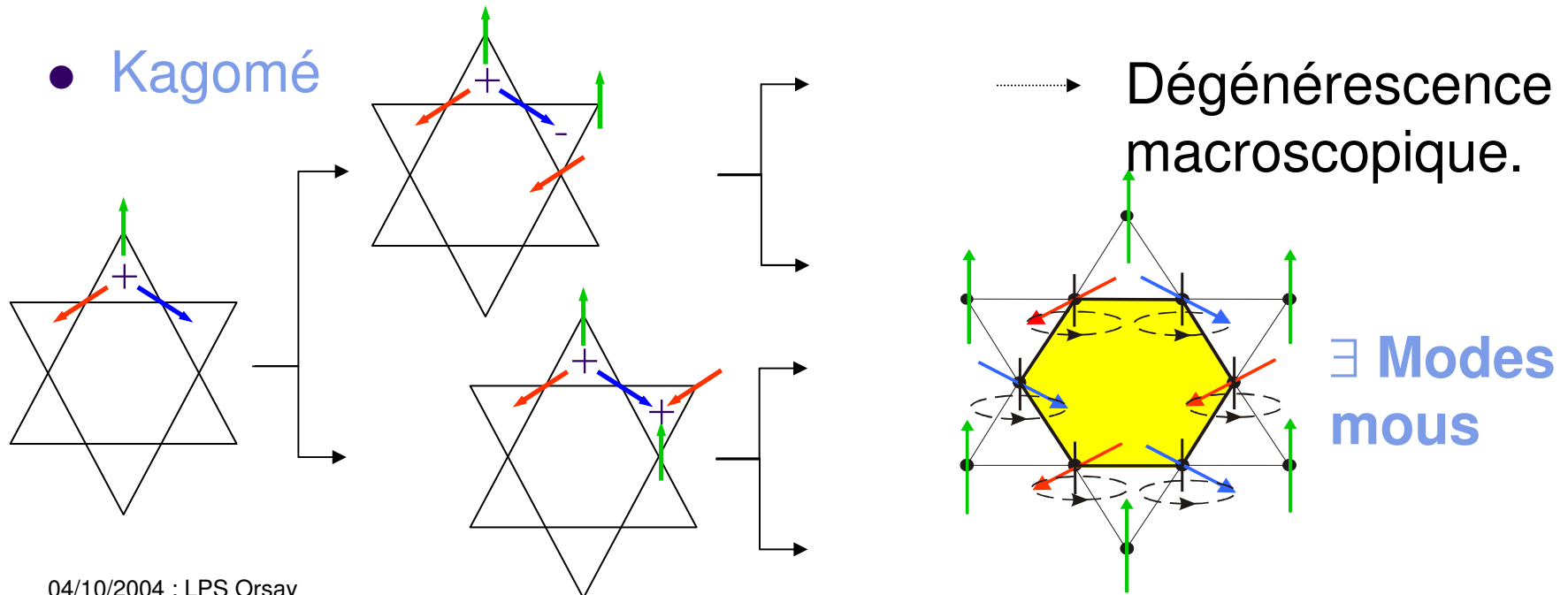
Réseaux de taille macroscopique



- Triangulaire



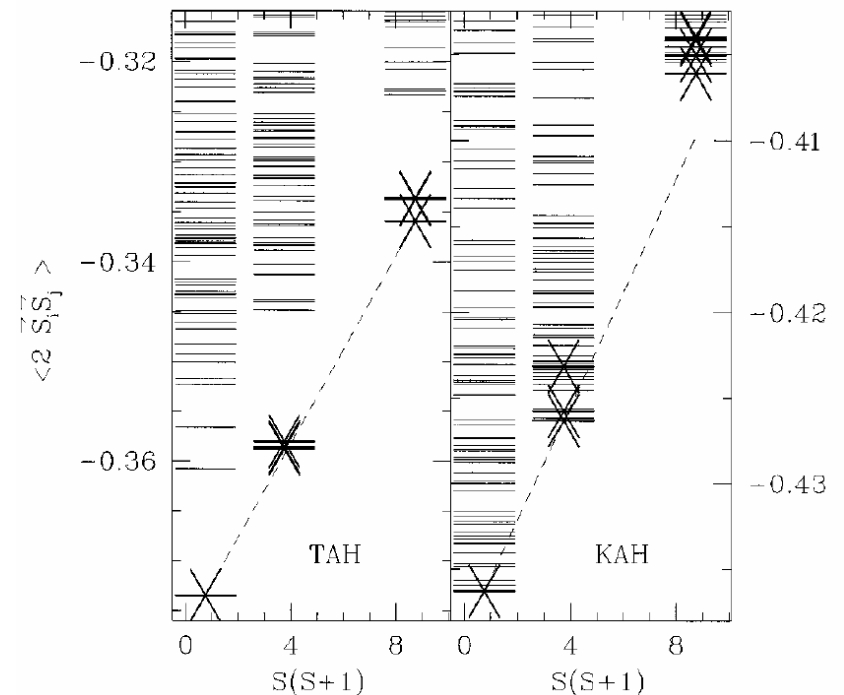
- Kagomé



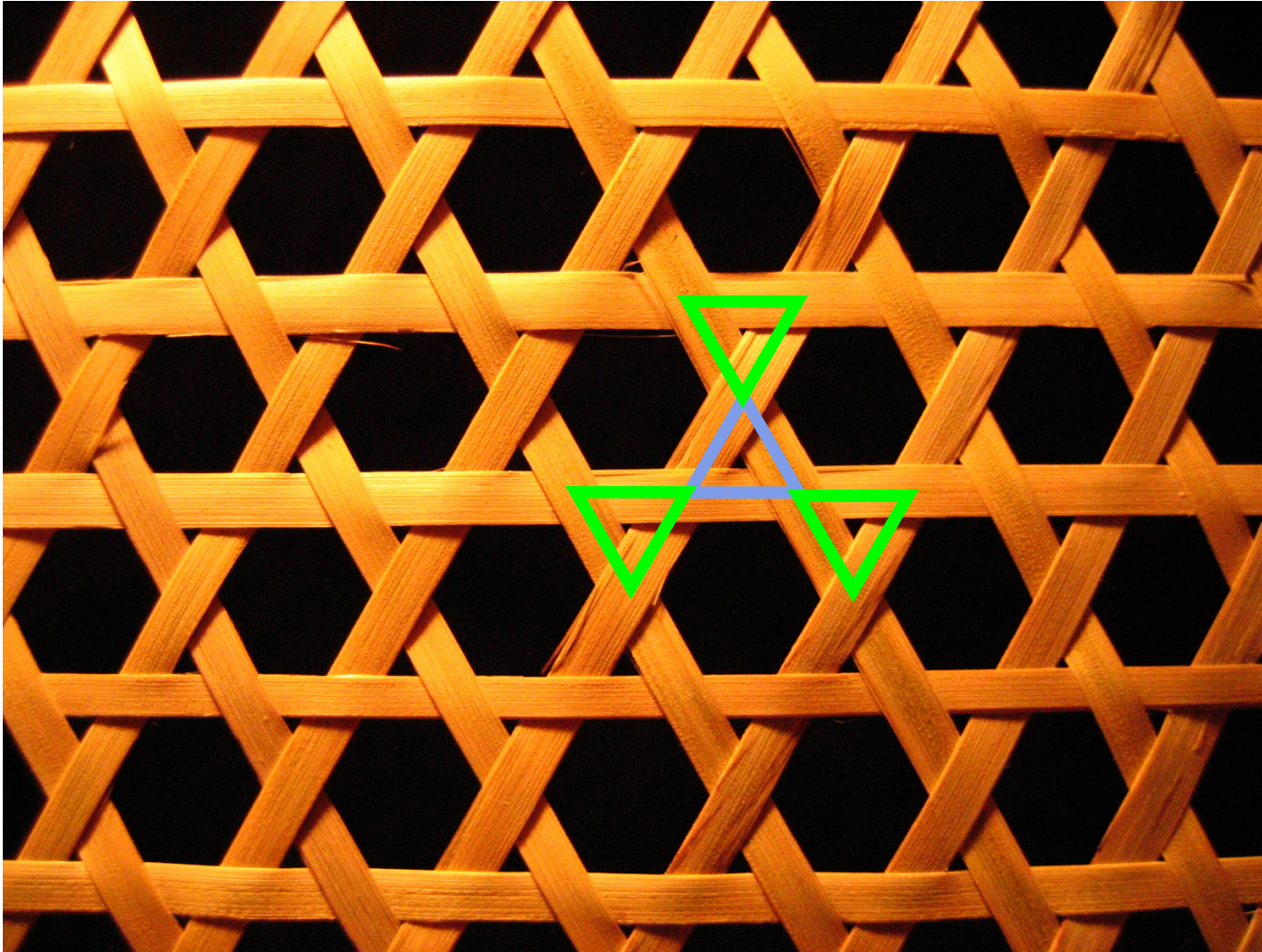
Réseaux kagomé AF parfait : un fondamental *liquide de spins* ?



- \exists (?) gap fondamental-triplet $\Delta \sim J/20$.
Lecheminant, PRB **56**, 2521 (1997) ;
Waldtmann *et al.*, EPJB **2**, 501 (1998).
- \nexists (?) gap fondamental-2^{ème} singulet.
- Etat RVB ?
Zengh *et al.*, PRB **51**, 2318 (1995) ;
Mila, PRL **81**, 2356 (2000).



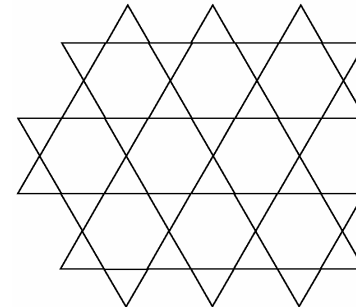
Kagomé ?



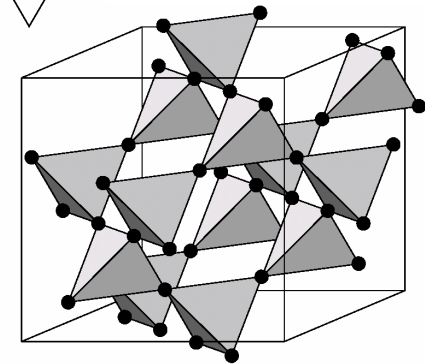
Systemes experimentaux



- Kagomé : jarosites...



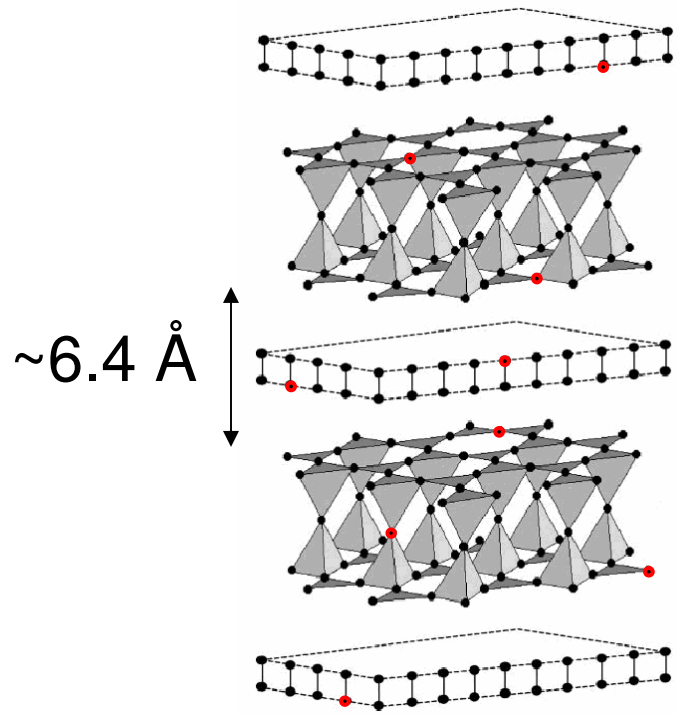
- Pyrochlores : $Y_2Mo_2O_7$, $Tb_2Ti_2O_7$...



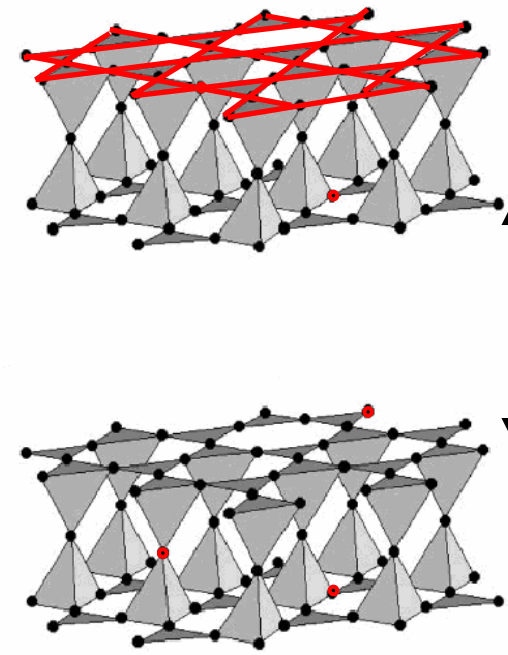
- $H = J \sum_{\langle i,j \rangle} \mathbf{S}_i \cdot \mathbf{S}_j + \text{perturbations ?}$

- Bicouches kagomé : $SrCr_{9p}Ga_{12-9p}O_{19}$ et $Ba_2Sn_2ZnGa_{10-7p}Cr_{7p}O_{22}$; Cr^{3+} $S=3/2$ Heisenberg

Bicouches kagomé ($S=3/2$)

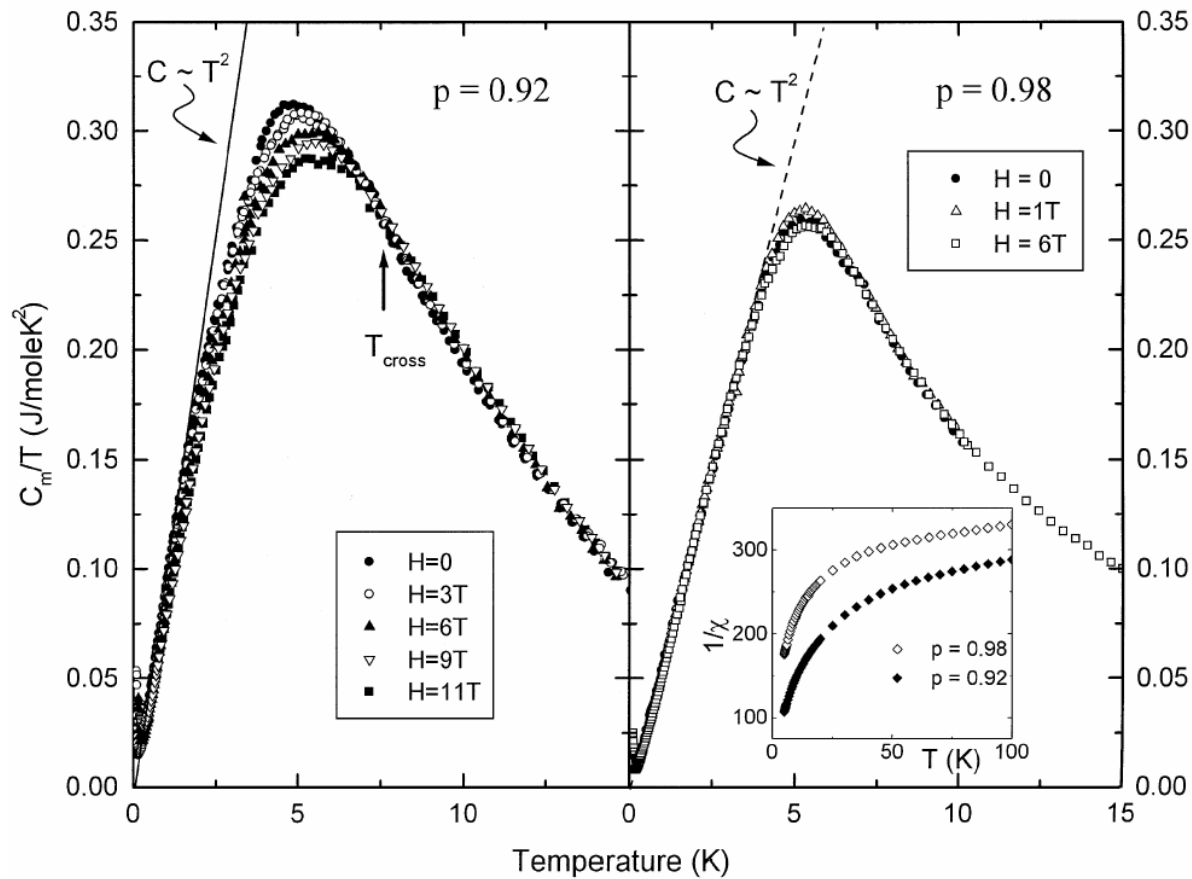


p : taux
d'occupation
des sites Cr
 $p \leq 0.97$



SCGO : Ramirez *et al.*, PRL **64**, 2070 (1990).
Mendels *et al.*, PRL **85**, 3496 (2000) ; Limot *et al.*, PRB **65**, 144447 (2002).
BSZCGO : Hagemann *et al.*, PRL **86**, 894 (2001).

Chaleur spécifique



Ramirez *et al.*, PRL **84**, 2957 (2000).

Plan



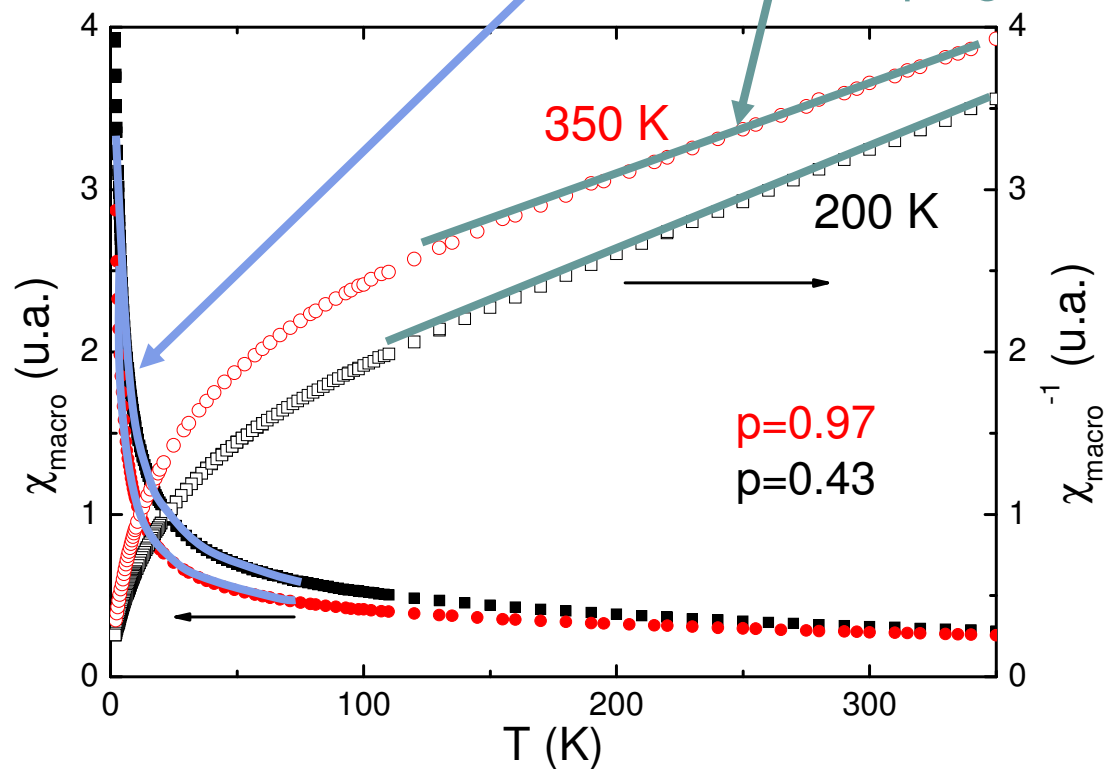
- Mesures de **susceptibilité** (SQUID, RMN)
- \Rightarrow nature des corrélations, défauts

- Mesure de **dynamique** de spin (μ SR)
- \Rightarrow nature des excitations

Susceptibilité macroscopique canonique (SQUID)



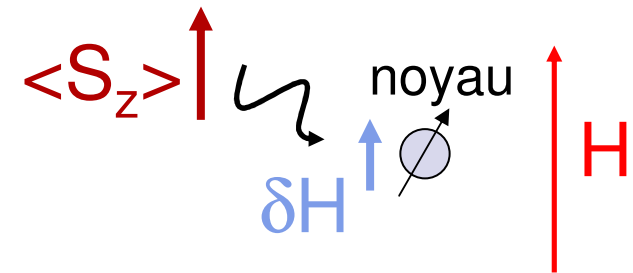
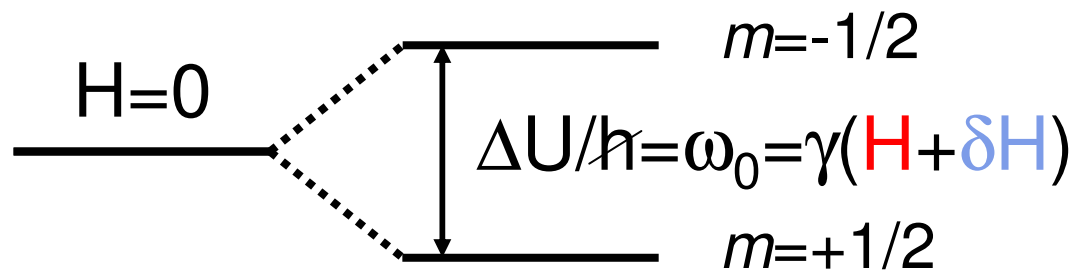
- Mesure SQUID : $\chi = \frac{C}{T} + \frac{C_{CW}}{T + \theta_{CW}}$



La RMN : une sonde locale du magnétisme

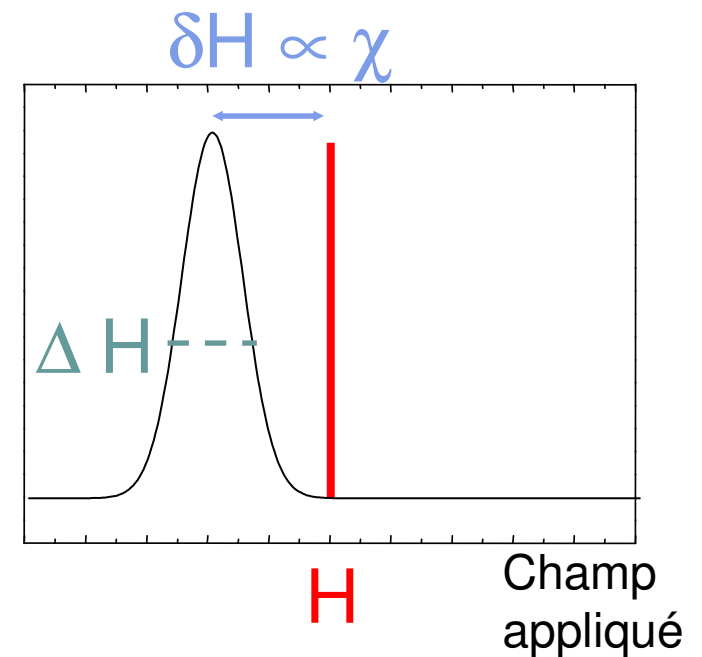


- Effet Zeeman ($I=1/2$)



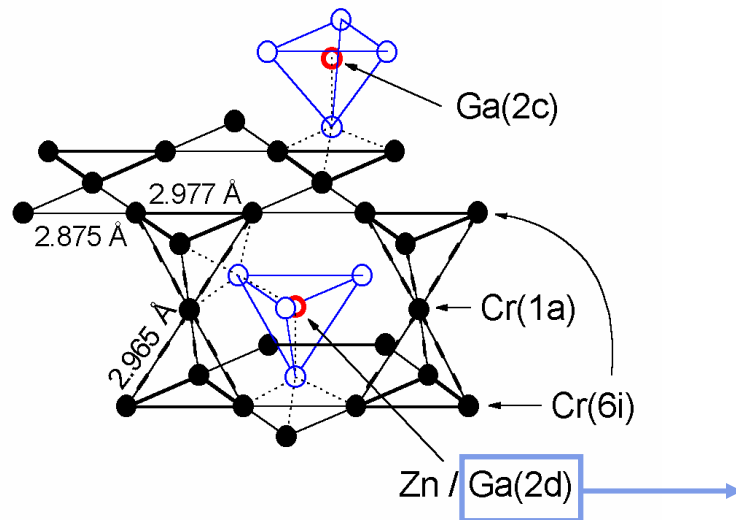
- Résonance

- Déplacement \propto susceptibilité moyenne.
- Largeur de raie : distribution de susceptibilité



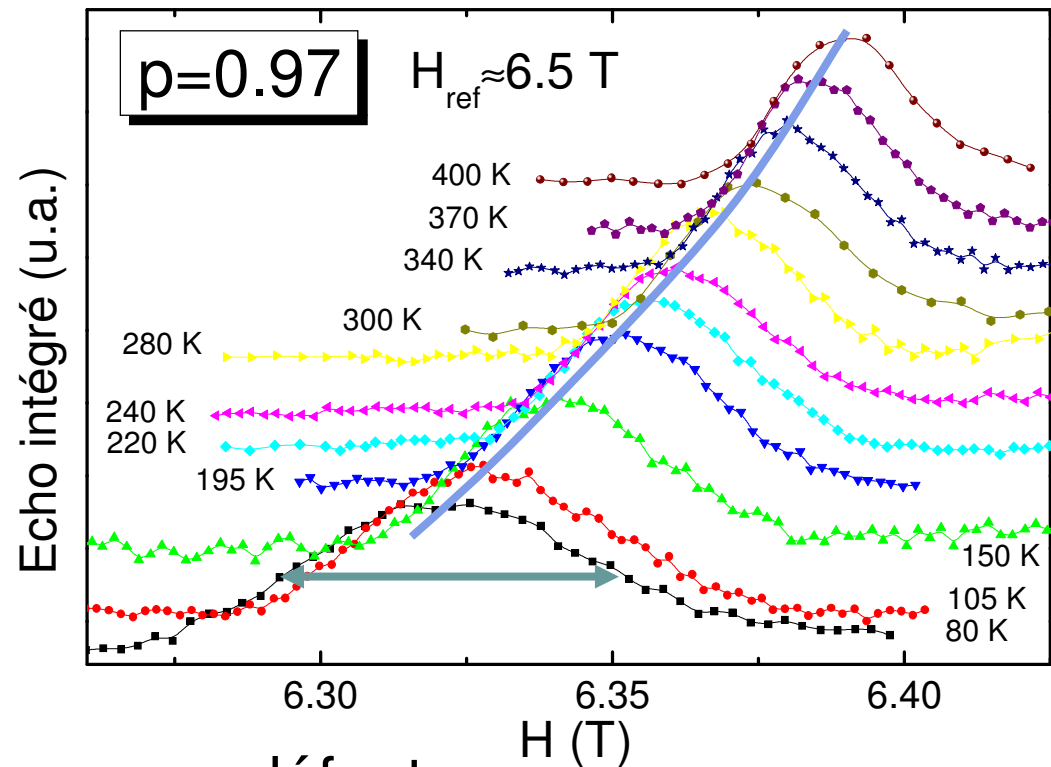


RMN du ^{71}Ga dans BSZCGO



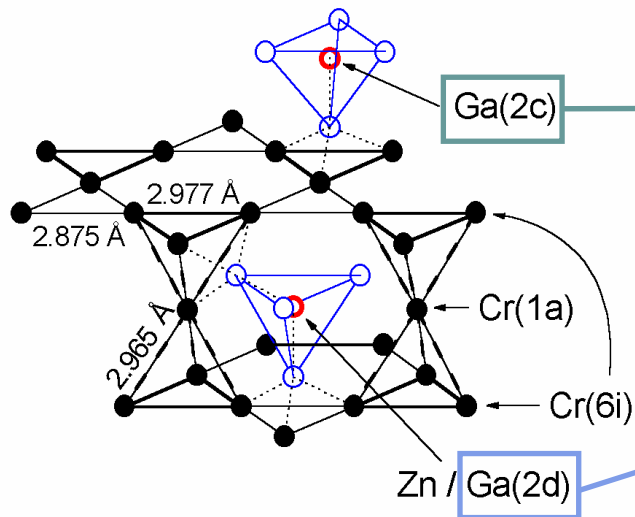
Noyau Ga(2d) ($I=3/2$)
couplé à 12 Cr.

- Déplacement \propto
susceptibilité de la bicouche.

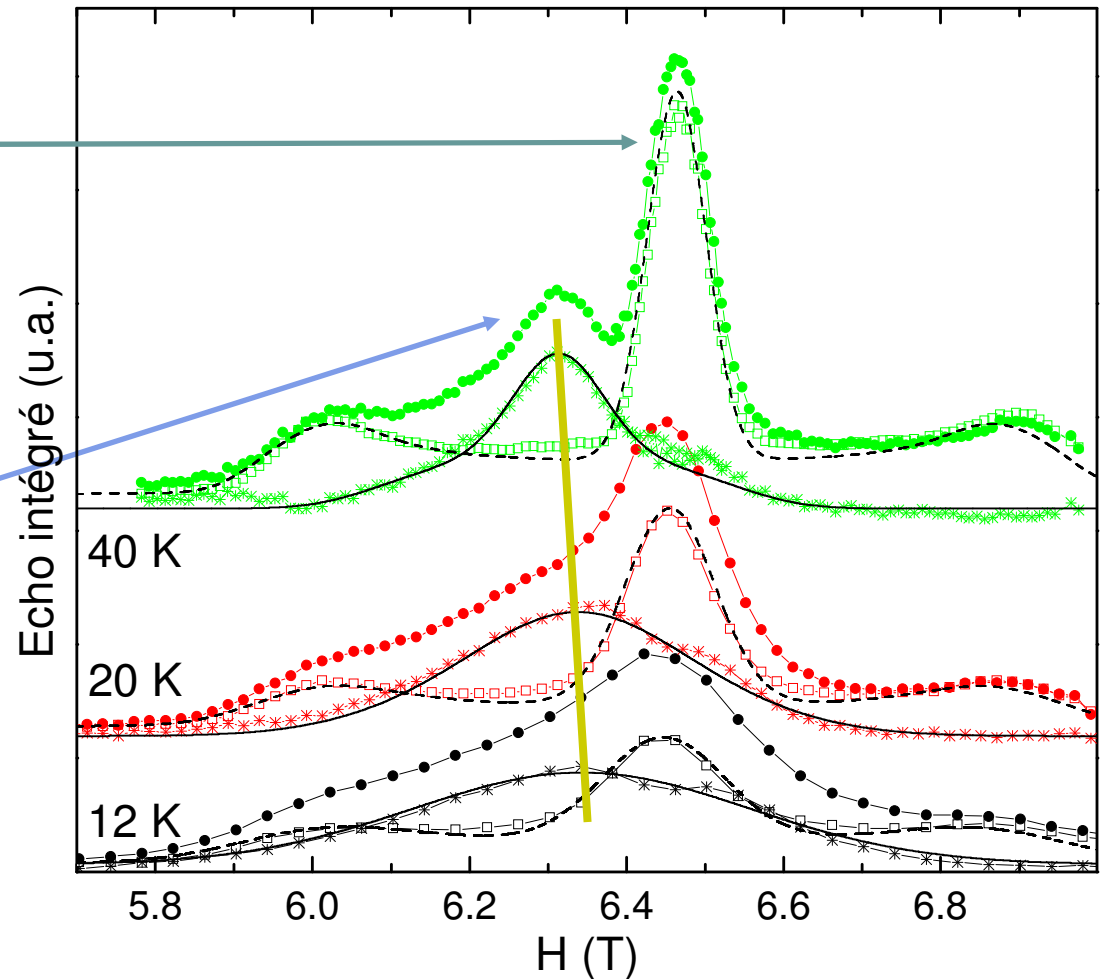


- Largeur \Rightarrow défauts.

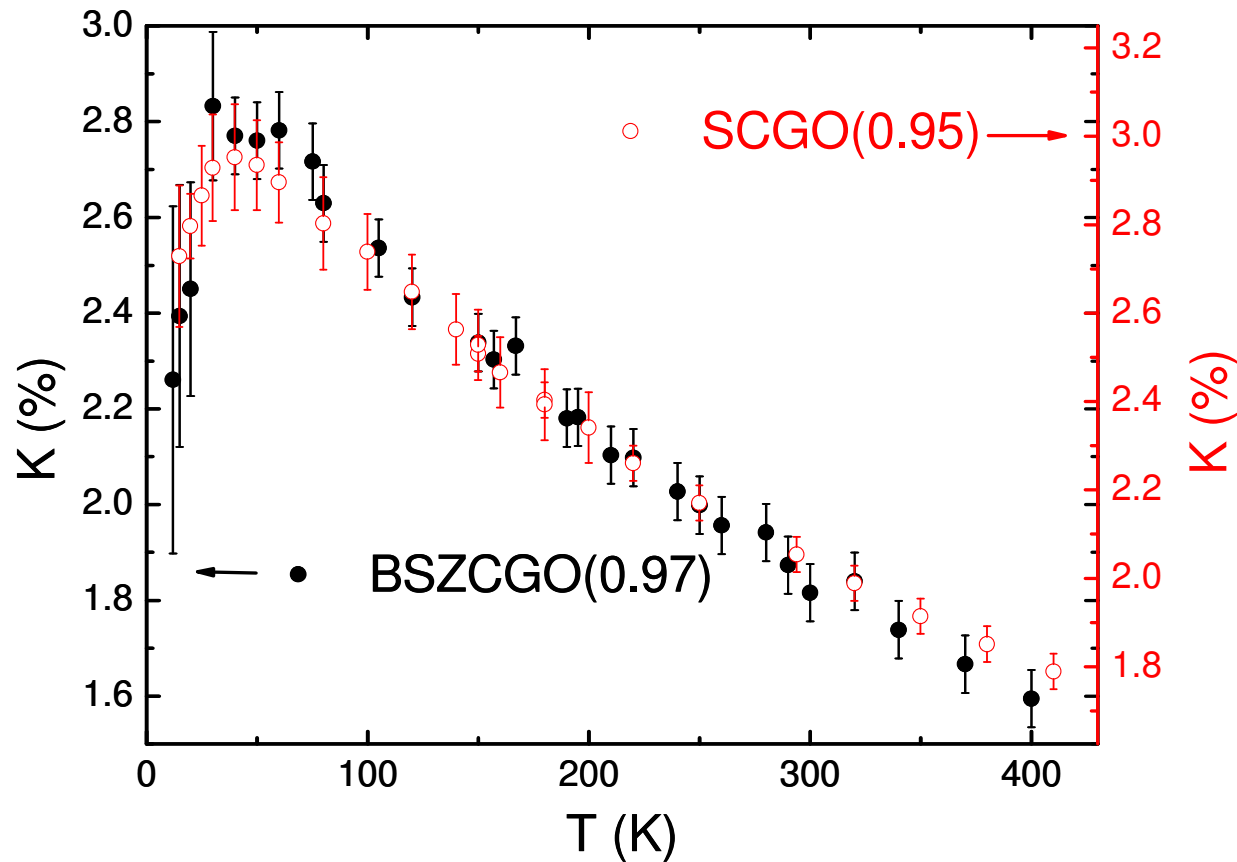
RMN du ^{71}Ga dans BSZCGO (basses températures)



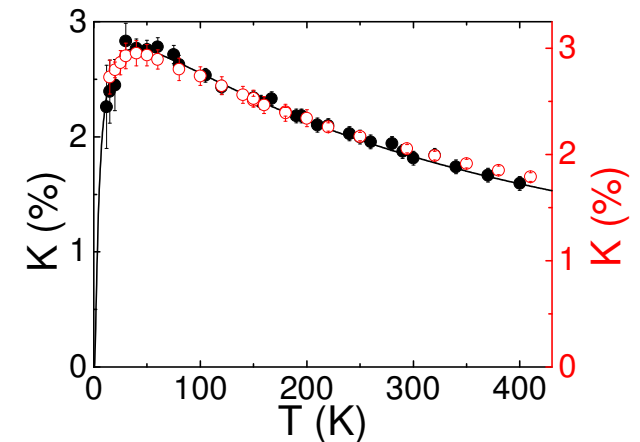
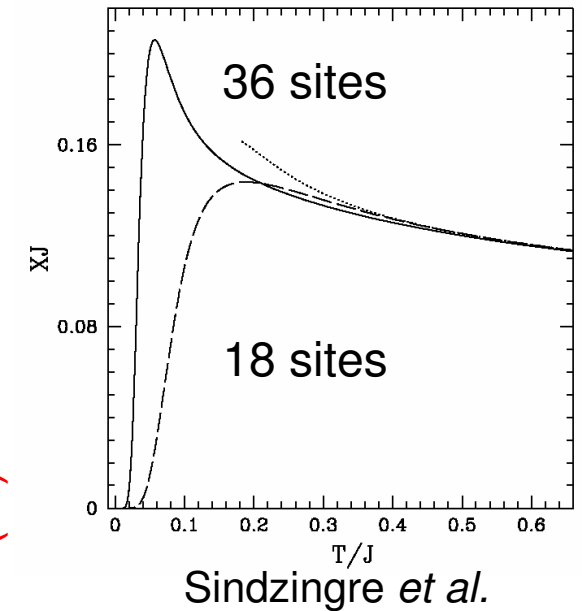
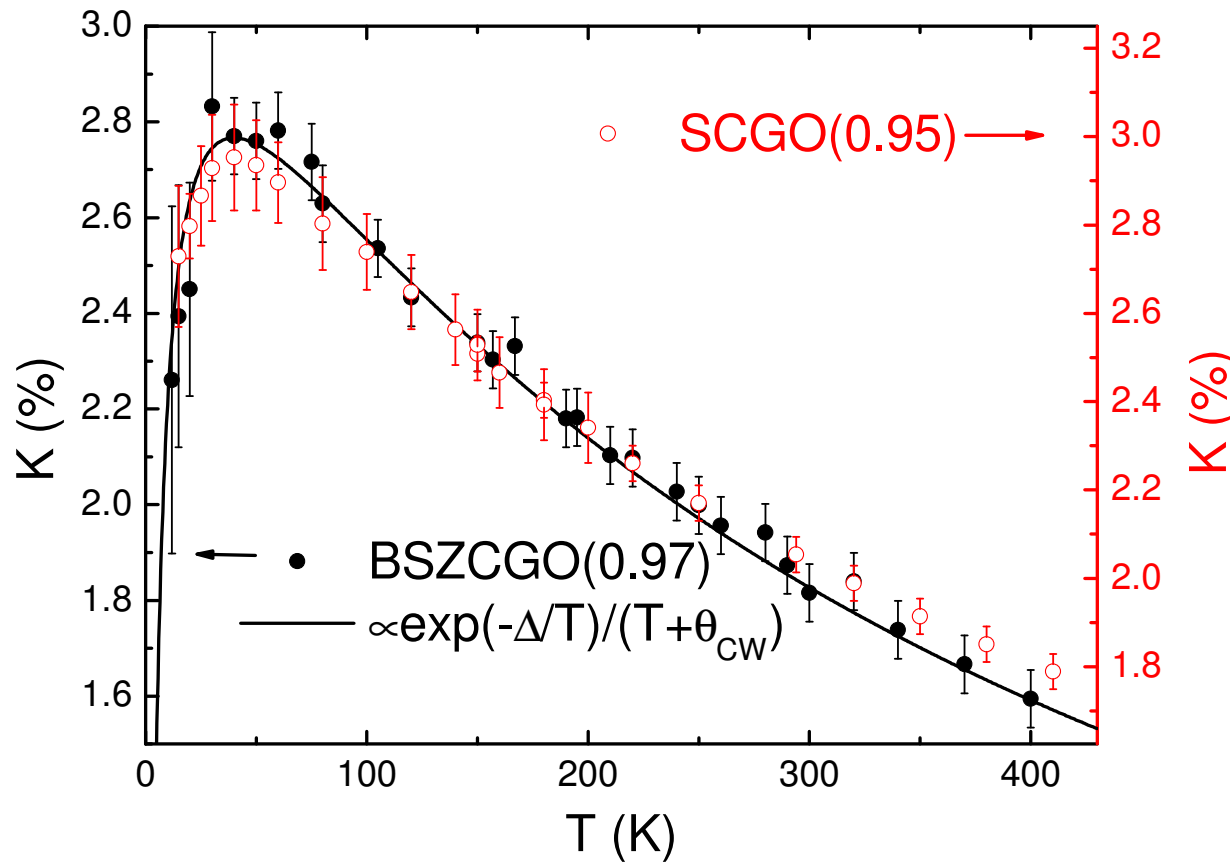
Utilisation du temps de relaxation transverse T_2 .



Susceptibilité intrinsèque des bicouches



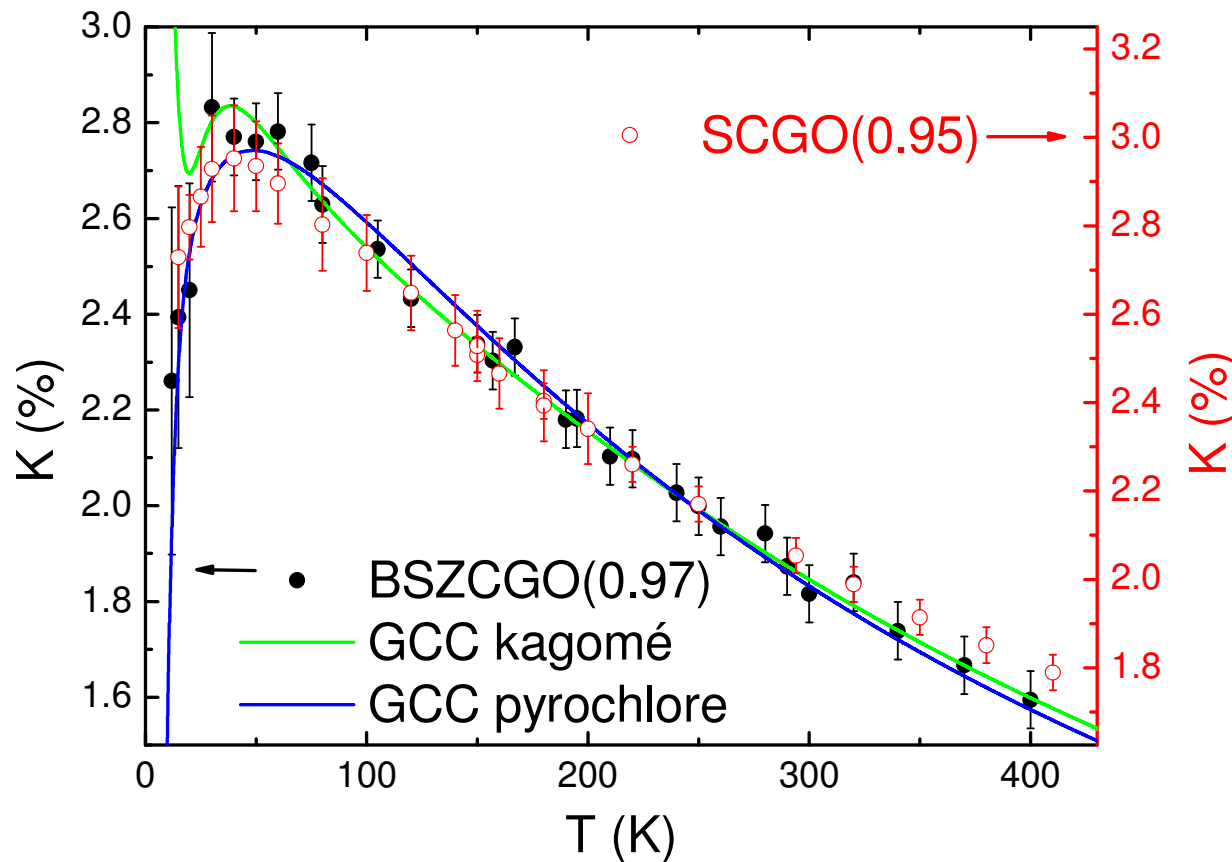
Susceptibilité des bicouches : existence d'un gap de spin ?



Susceptibilité des bicouches : corrélations à courte portée



- Champ moyen appliqué à des clusters.

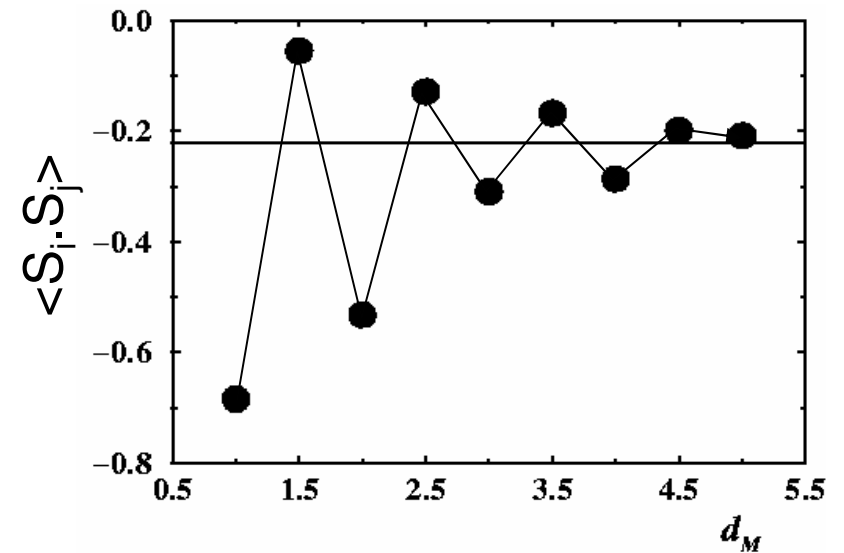
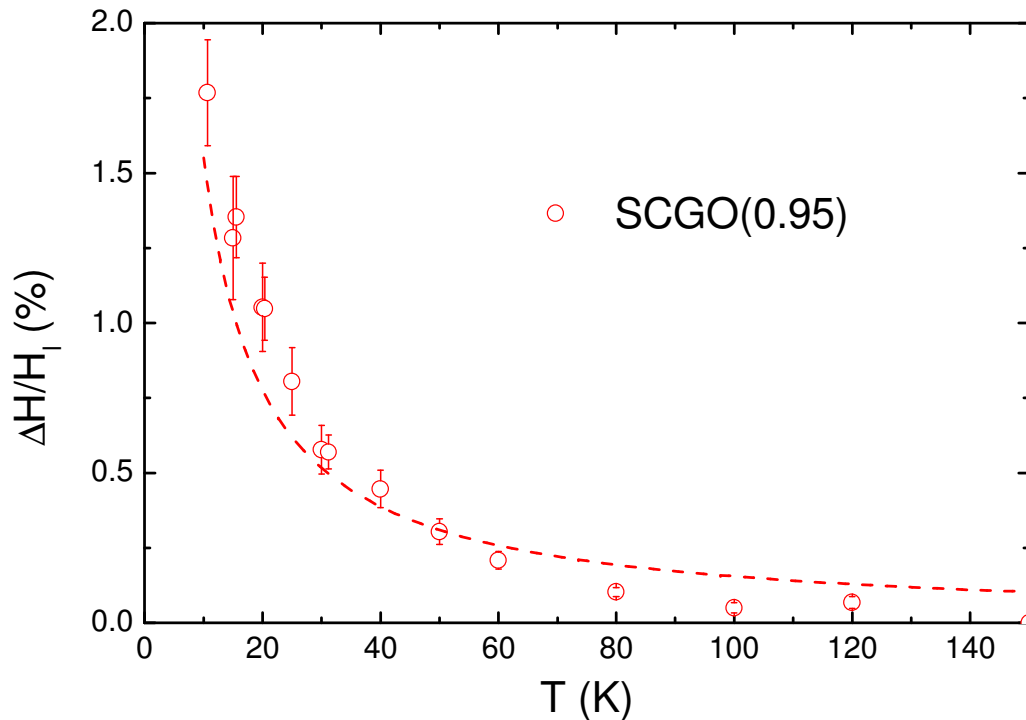


- Calcul HT (Garcia-Adeva et Huber, PRB **63**, 174433 ; PRB **64**, 172403 (2001)).

- Neutrons : Mondelli *et al.*, PB **267**, 139 (1999); Bonnet *et al.*, JPCM **16**,S835 (2004).

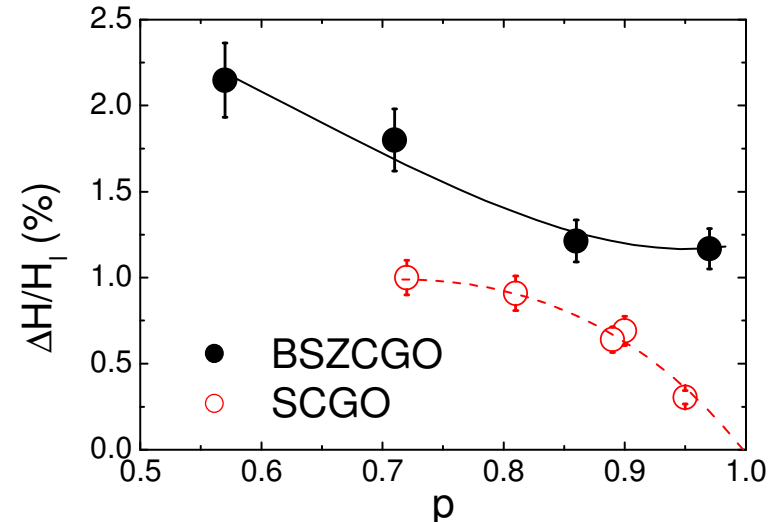
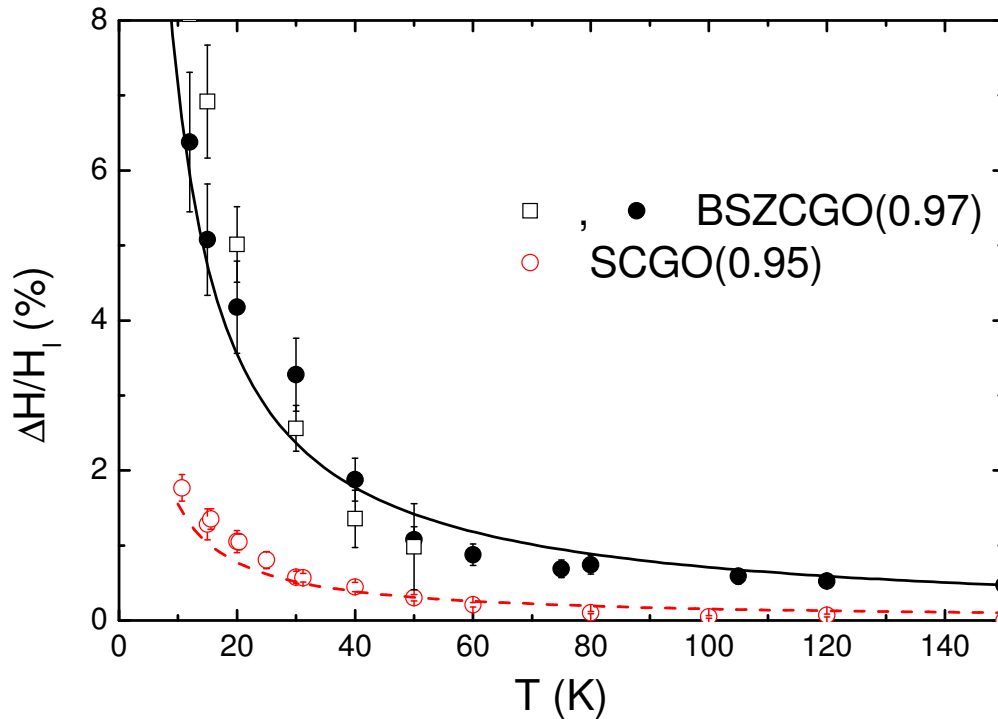
Bono *et al.*, PRL **92**, 217202 (2004).

Largeur de raie RMN : défauts étendus dans SCGO

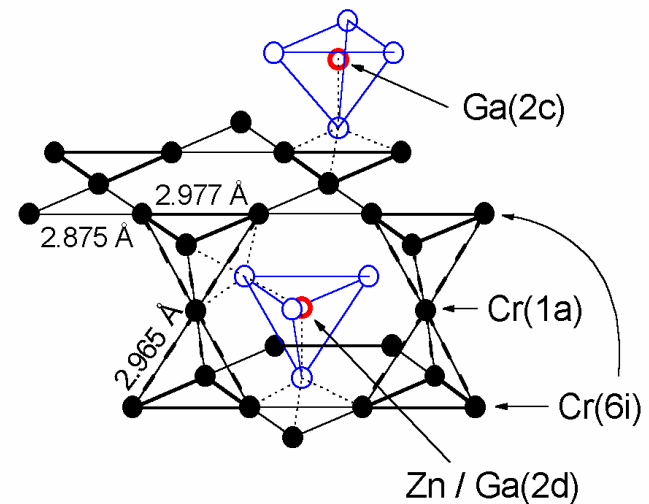


- Largeur et forme des raie \Rightarrow défauts étendus (Limot *et al.*, PRB 65, 144447 (2002)).
- Théorie : polarisation alternée (Dommange *et al.*, PRB 68, 24416 (2003)).

Largeur de raie RMN : nouveaux défauts dans BSZCGO



Existence de défauts indépendants de p .



Susceptibilité hautes températures : conclusions



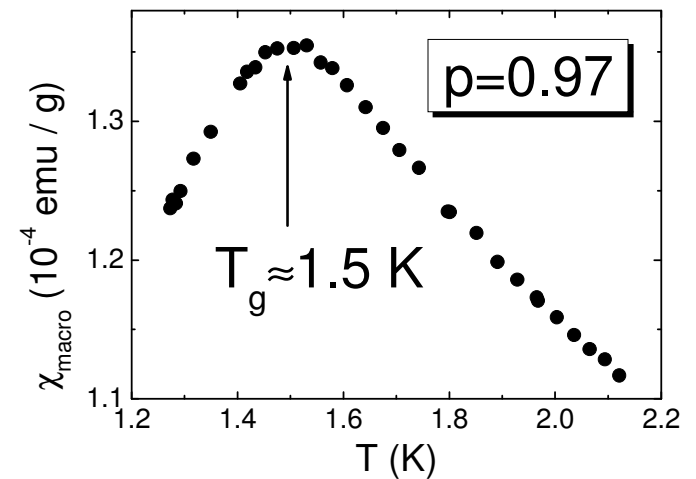
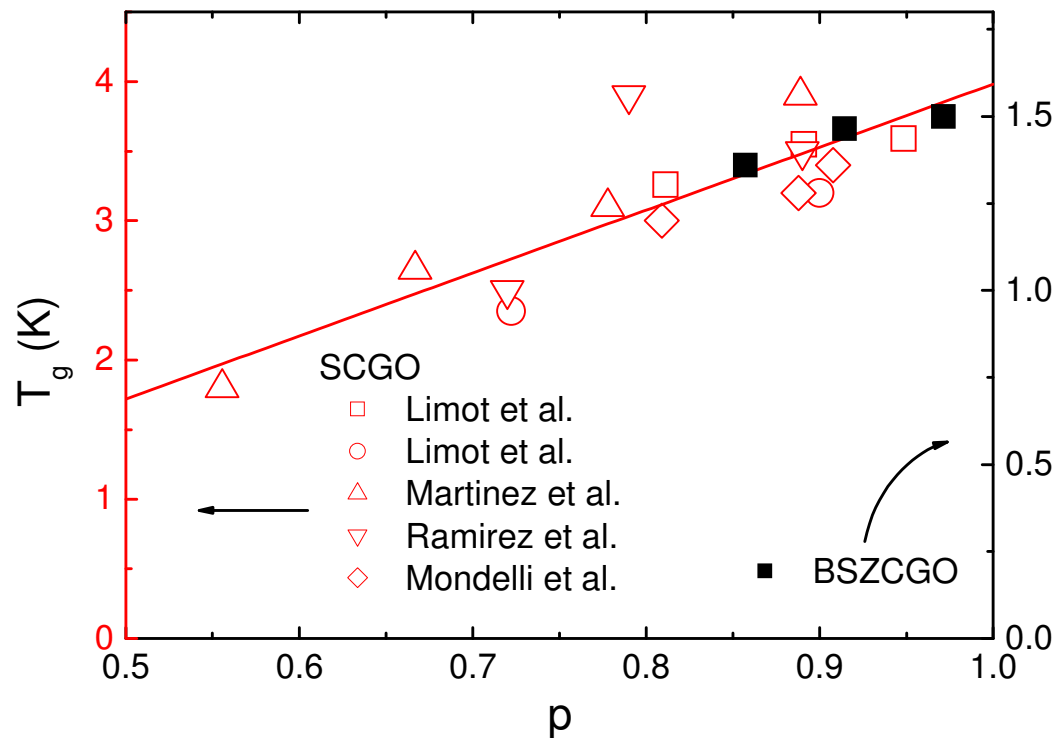
- Absence de transition pour $T \ll \theta_{CW}$.
- Corrélations à très courte portée.
- Gap ? (<4 K ?)
- Nouveaux défauts dans BSZCGO.
- Susceptibilité intrinsèque.

- Limitations de la RMN dans BSZCGO :
 - Largeur de raie.
 - Fluctuations ?

Une transition de *type* verre de spin



- Transition intrinsèque... liée aux défauts ?



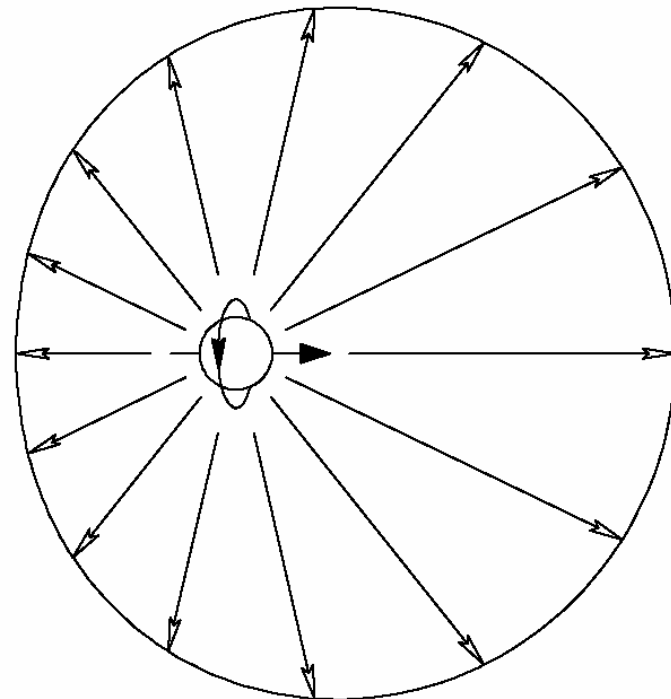
Mila *et al.*, EPJB **26**, 301 (2001) ;
Ferrero *et al.*, PRB **68**,
214431(2003).

Etude de la dynamique de spins par μ SR

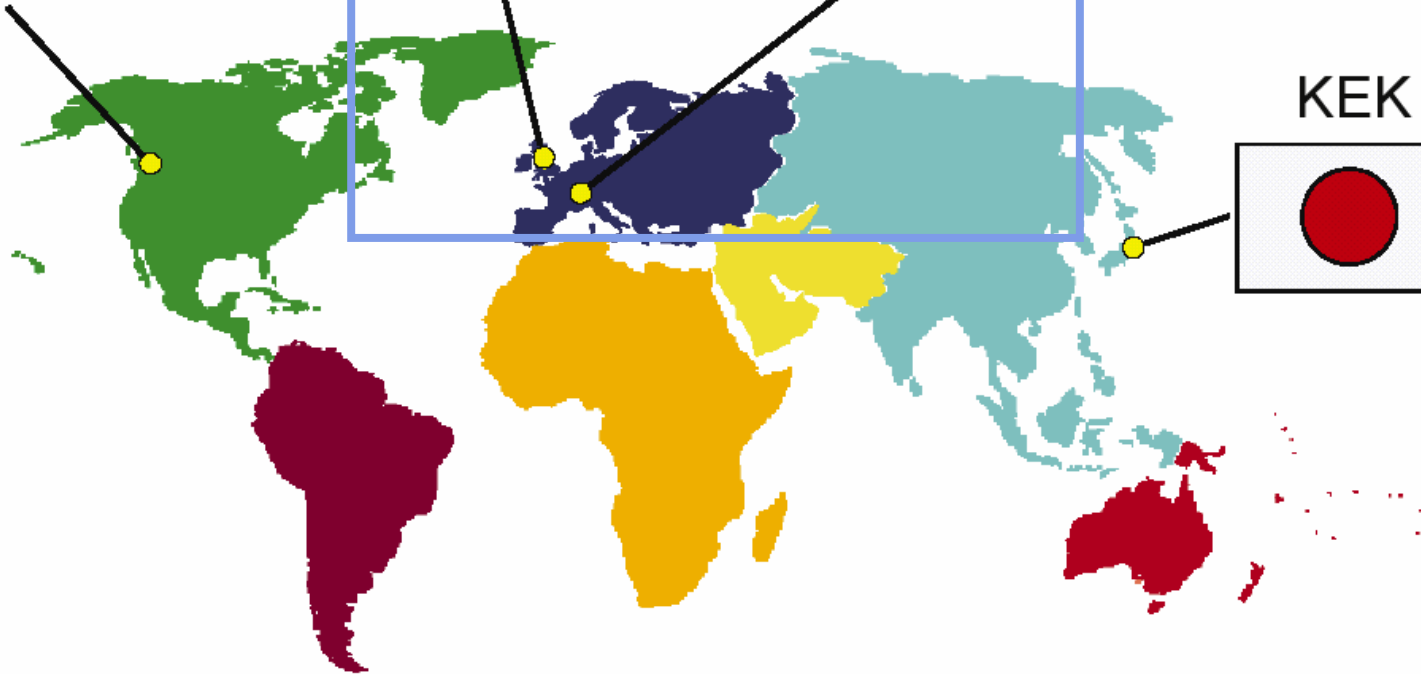
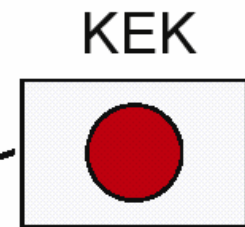


- Résonance/Relaxation/Rotation de spin de muon
- Muon μ^+
 - Spin 1/2.
 - Faisceau 100 % polarisé.
 - Temps de vie 2.2 μ s.
 - $\mu^+ \rightarrow e^+ + \text{neutrinos}$.

\Rightarrow Sonde locale du magnétisme.

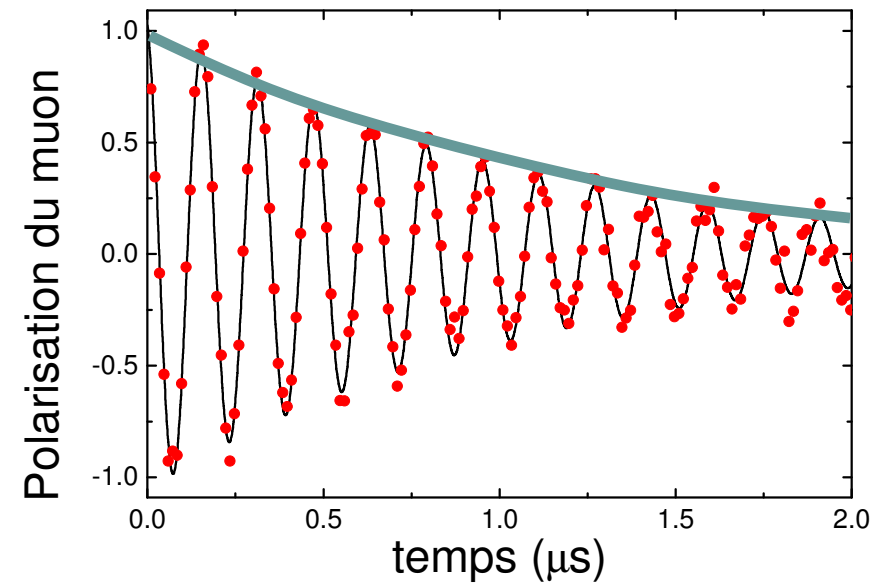
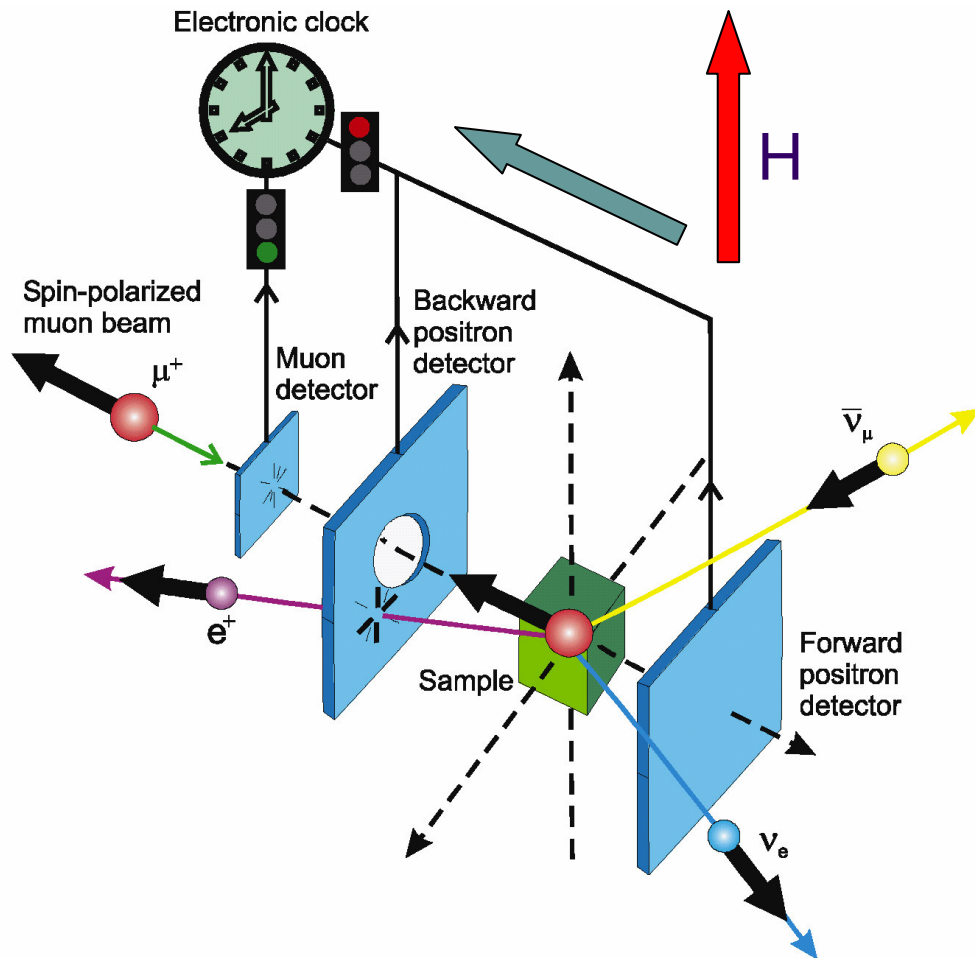


Lignes utilisées



Responsables d'instruments : A. Amato (PSI), C. Baines (PSI)
A.D. Hillier (ISIS)

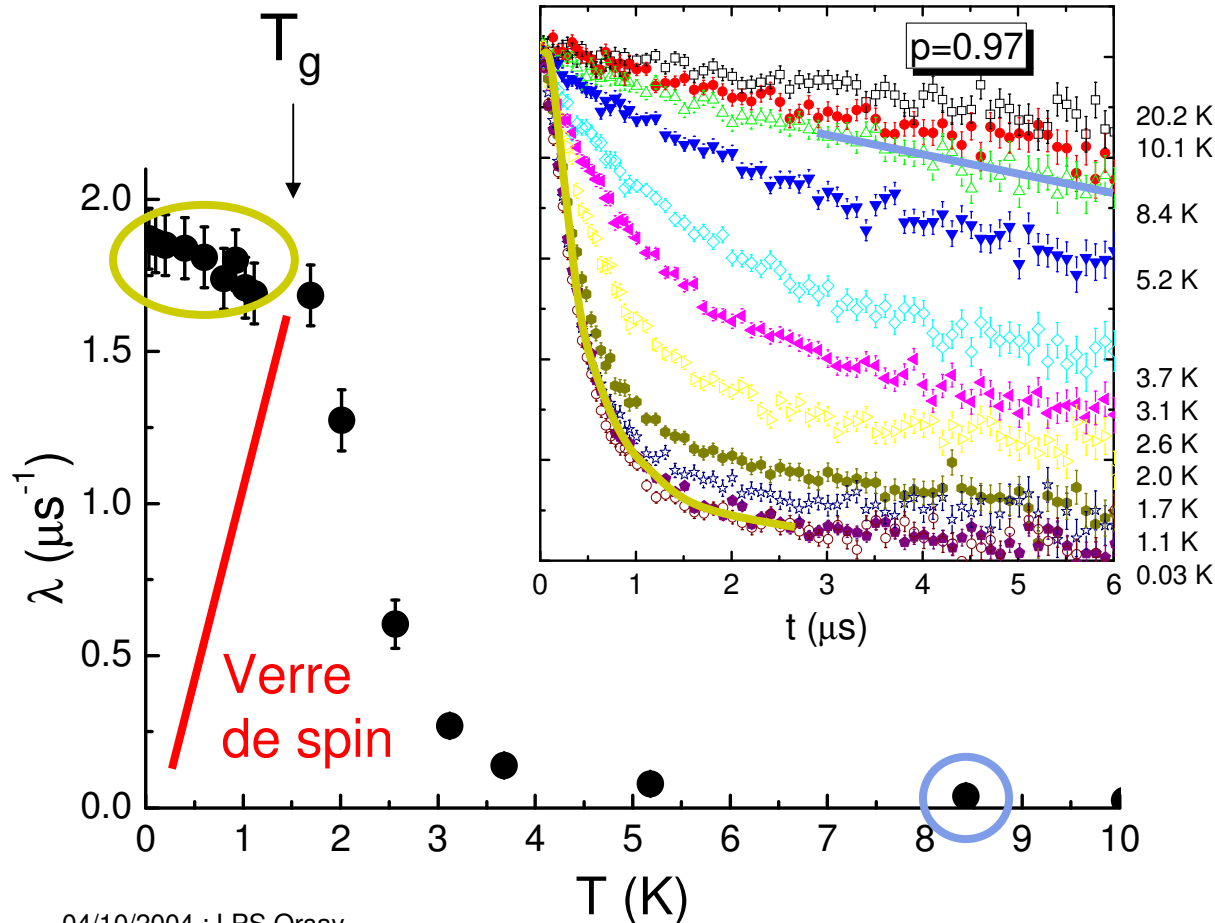
Dispositif expérimental



Plateau de relaxation et polarisation non conventionnelle



- BSZCGO...

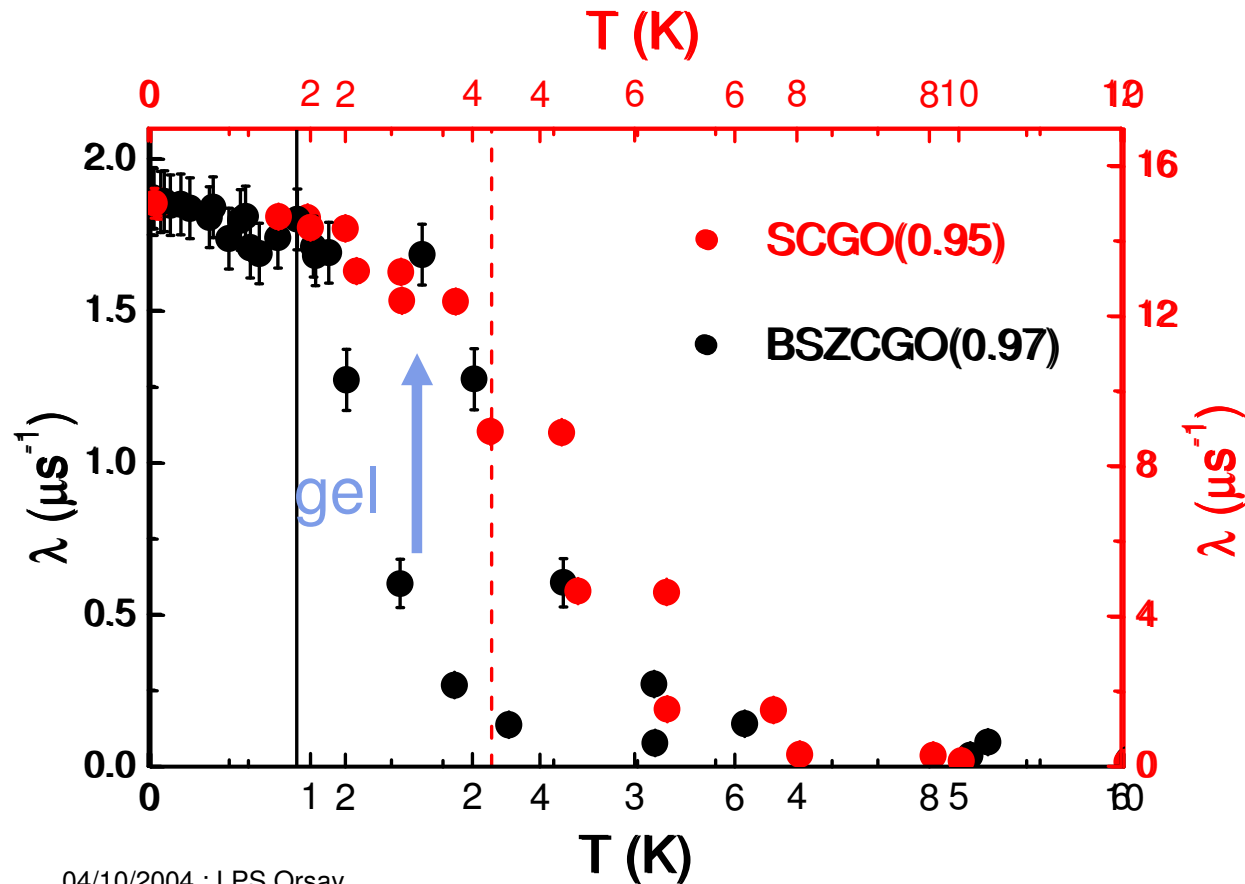


- Absence de gel.
- Neutrons : 70% non-gelé (Broholm *et al.*, PRL **65**, 3173 (1990)).

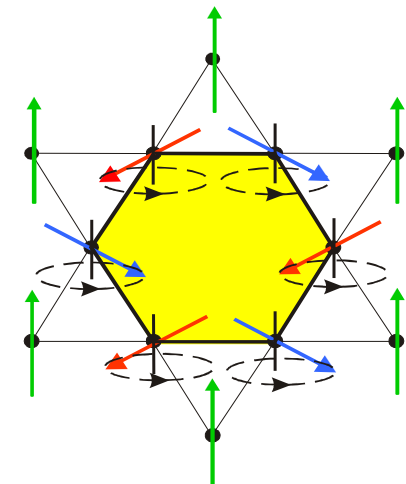
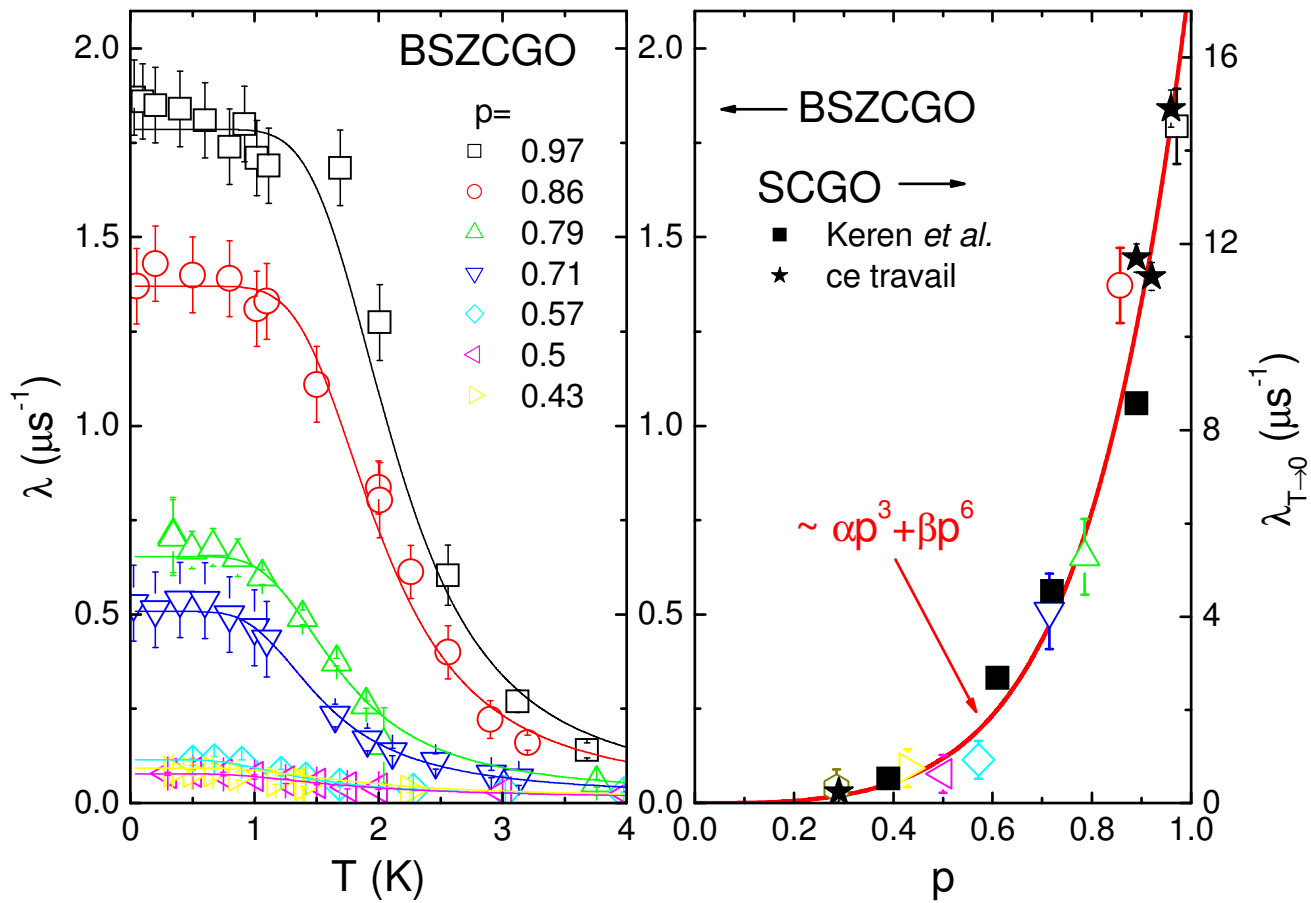
Corrélation T_g (défauts ?)- dynamique (intrinsèque)



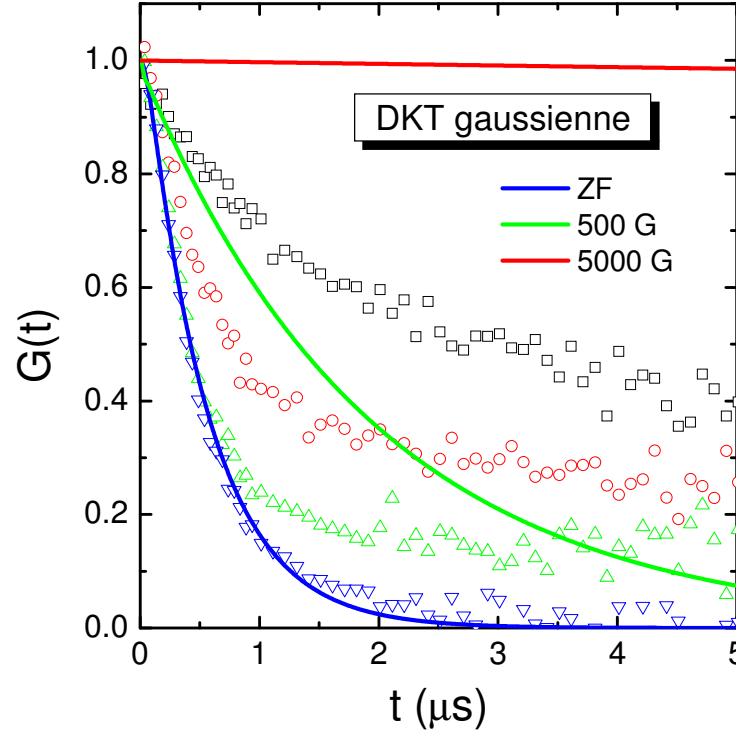
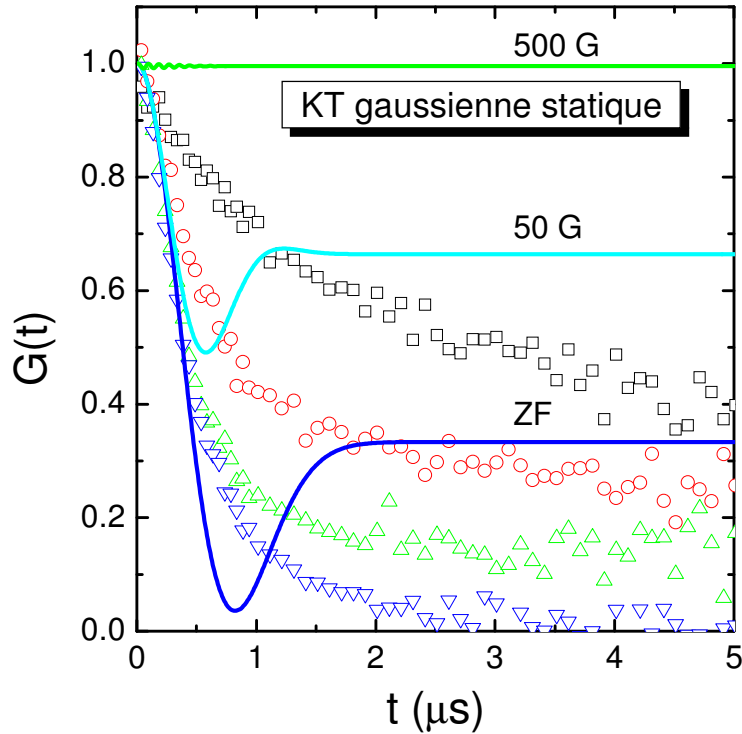
- BSZCGO... et SCGO : même comportement.



Modes d'excitations classique ?



Une fonction de relaxation inhabituelle

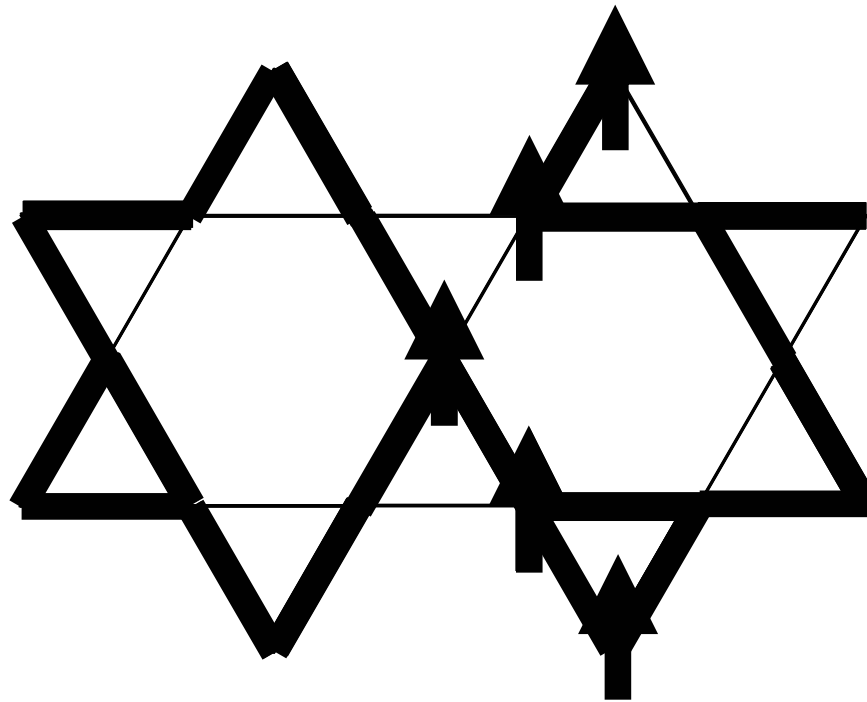


20000 G
5000 G
500 G
20 G

Modes d'excitations quantiques : des spinons déconfinés ?



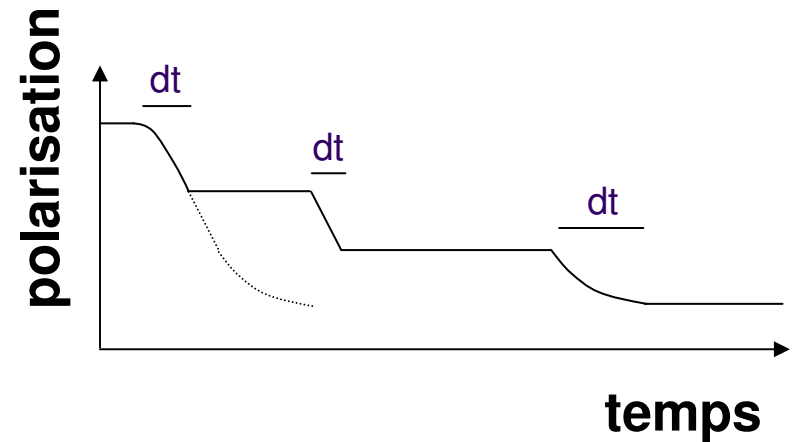
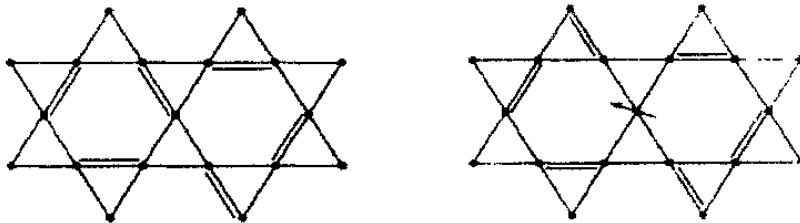
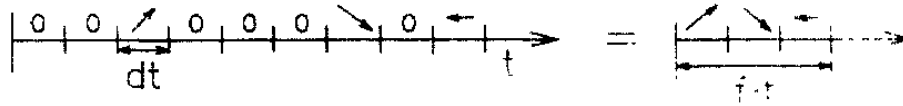
- Etat RVB :
 - Etat fondamental non magnétique.
 - Excitations : spinons déconfinés ?



Modes d'excitations quantiques ?



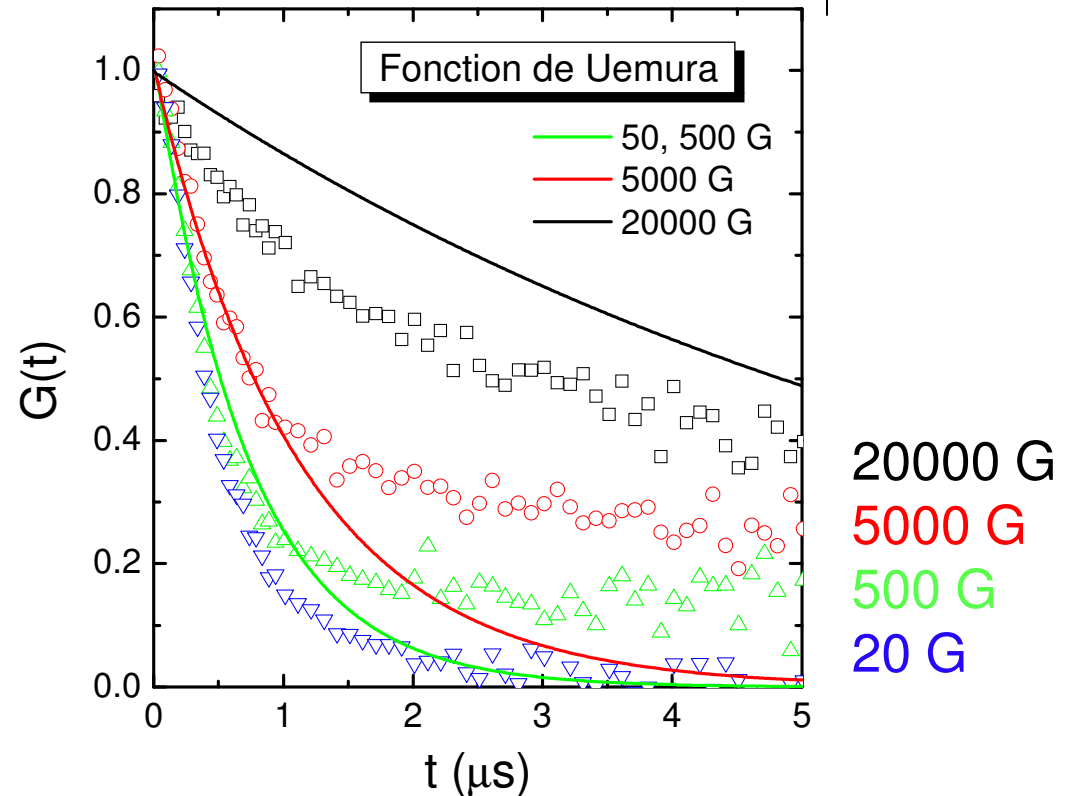
- Etat RVB :
 - Etat non magnétique,
 - Excitations : spinons déconfinés $\Rightarrow P_z(t) \propto P^{DKT}(ft)$; ($f \sim 0.01$)
(Uemura *et al.*, PRL **73**, 3306 (1994))



Limitations de ce modèle de fluctuations sporadiques



- Insuffisant pour :
 - Temps longs.
 - Dépendance en champ.
 - Dépendance en T .
 - Echantillons dilués.



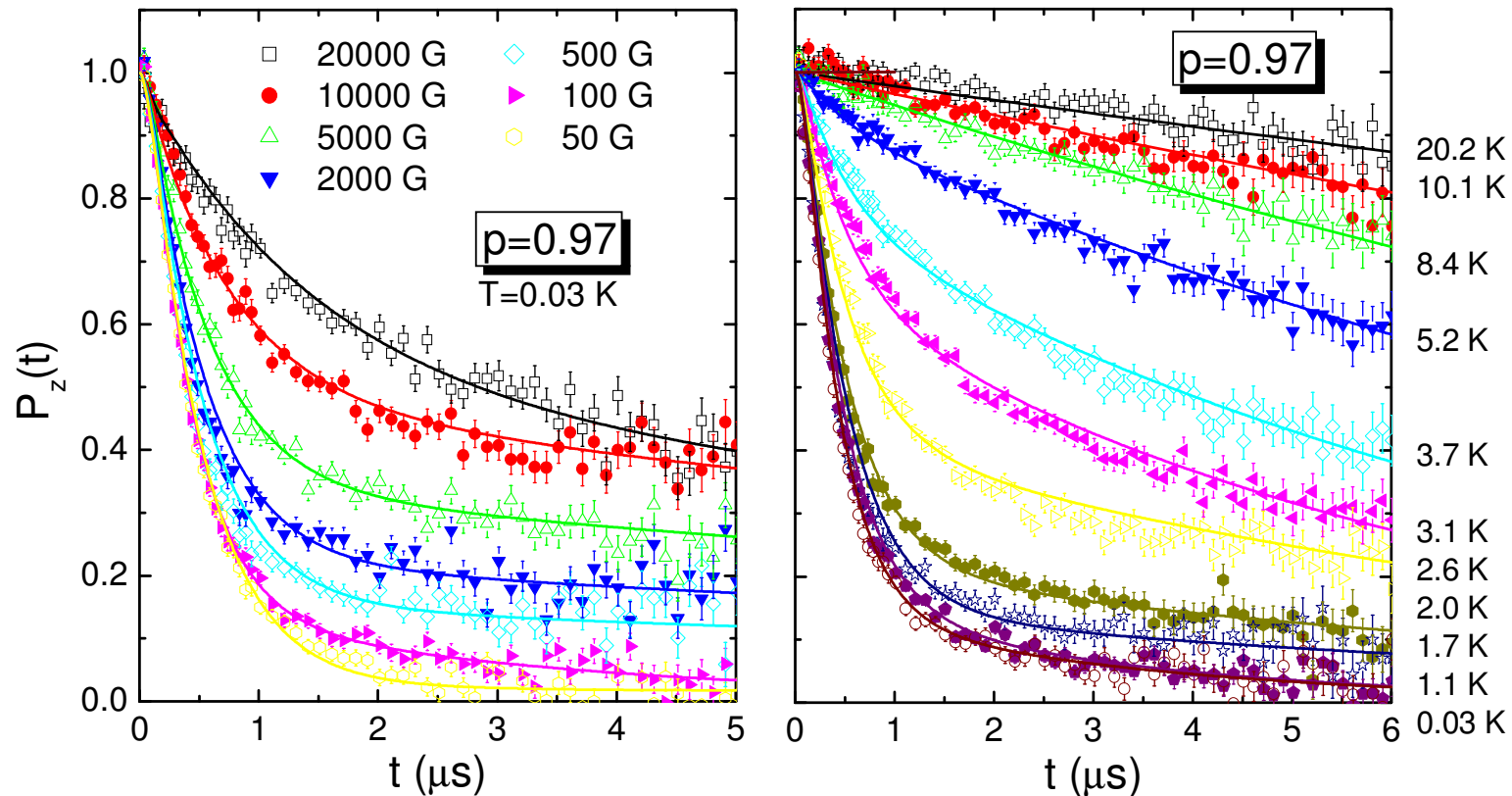
- RVB + terme exponentiel lié aux défauts de substitutions.

$$P_z(t) = \underbrace{x P^{DKT}(ft)}_{\text{« Spinons »}} + \underbrace{(1-x) \exp(-\lambda't)}_{\text{Dynamique « conventionnelle »}}$$

Modèle résonnant cohérent avec les expériences



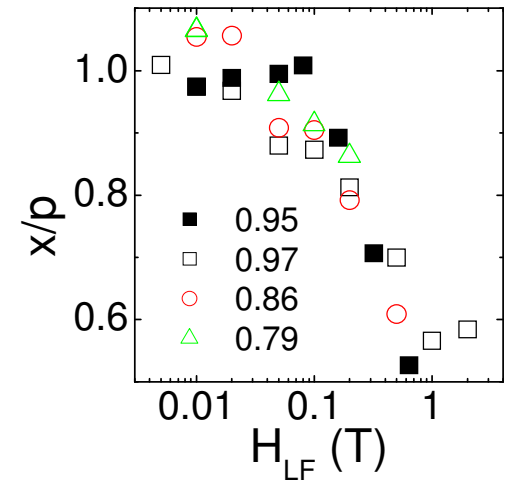
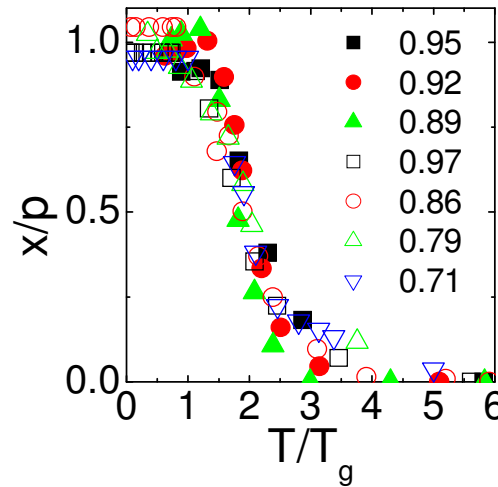
- Ce modèle permet d'ajuster les dépendances en T , H et p .



Etat RVB pour $T < T_g$, Gel autour des défauts



Fraction « spinon »



- $P_z(t) = x P^{DKT}(ft) + (1-x) \exp(-\lambda't)$

Fraction

« conventionnelle »

Conclusion ; bicouches kagomé : le liquide de spin ?



- Forte frustration des interactions.
- Corrélations à très courte portée.
- \exists comportement de la relaxation singulier pour $T < 3 T_g$.
- \exists excitations magnétiques dynamiques pour $T > 0.03$ K peu sensibles au champ.
- \Rightarrow excitations type « spinons déconfiné ». Etat cohérent en dessous de T_g .

Perspectives

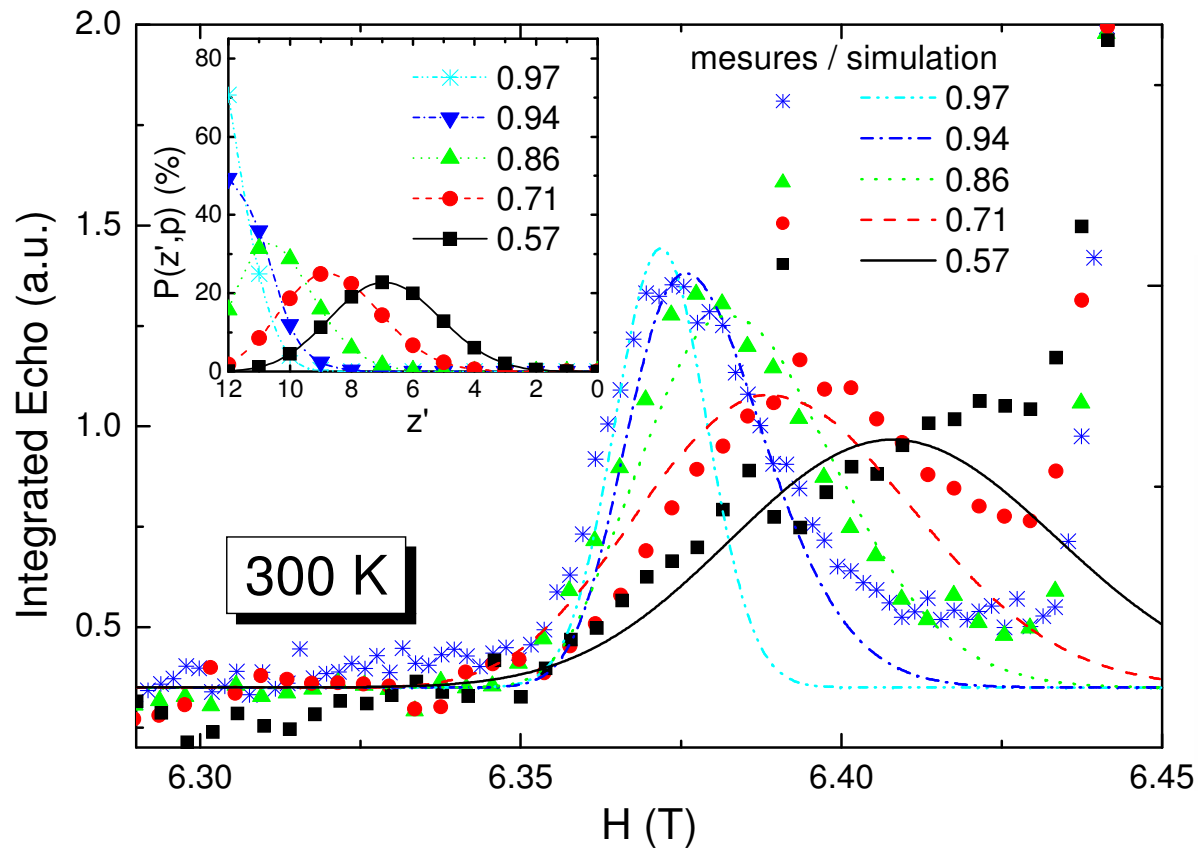


- Etude de la dynamique par écho de spin de neutron (collaboration avec G. Ehlers, H. Mutka, C. Payen, R. Stewart).
- Etat liquide de spin
 - Systèmes kagomé quantiques (spin 1/2, Cu^{2+}), plateau d'aimantation \Rightarrow Volborthite, organiques.
 - Systèmes J_1 - J_2 .
- Rôle de la frustration dans les systèmes métalliques ?
 - Delafossites, Cobaltites, Cuprates

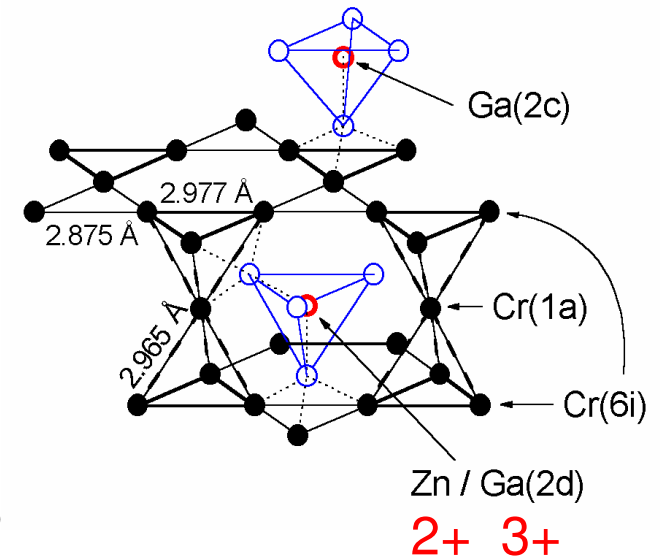
Défauts indépendants des dilutions non magnétiques



- Valeur effective de p correcte (RMN, RX)



Existence de défauts indépendants de p .





Modèle généralisable ?

- Chaîne de Haldane $S=1$; $(Y_{2-x}Ca_x)BaNiO_5$
 - « Valence Bond Crystal », singulets localisés.
 - μ SR : Kojima *et al.*, PRL **74**, 3471 (1995).

